

УДК 532.59:629.576

## ДВИЖЕНИЕ НАГРУЗКИ ПО ПЛАВАЮЩЕЙ ПЛАСТИНЕ ПРИ ПЕРЕМЕННОЙ ГЛУБИНЕ ВОДОЕМА

А. В. Погорелова, В. М. Козин<sup>\*,\*\*</sup>

Институт машиноведения и металлургии ДВО РАН, 681005 Комсомольск-на-Амуре

\* Комсомольский-на-Амуре государственный технический университет,  
681013 Комсомольск-на-Амуре

\*\* Амурский гуманитарно-педагогический государственный университет,  
681000 Комсомольск-на-Амуре

E-mails: milova@yandex.ru, kozinvictor@rambler.ru

Исследовано прямолинейное нестационарное движение нагрузки по упругой плавающей пластине, в случае когда глубина водоема меняется в направлении движения нагрузки. Анализируется влияние глубины водоема, толщины пластины, размеров и интенсивности нагрузки, скорости равномерного движения на амплитуду и максимальный прогиб пластины.

Ключевые слова: несжимаемая жидкость, упругая пластина, нестационарное движение.

1. Рассмотрим плавающую на поверхности идеальной несжимаемой жидкости бесконечную однородную упругую пластину, по которой со скоростью  $U(t')$  перемещается тело (система поверхностных давлений  $q'$ ). Система координат  $O'x'y'z'$  располагается следующим образом: плоскость  $x'O'y'$  совпадает с невозмущенной поверхностью раздела пластина — вода, направление оси  $x'$  совпадает с направлением движения нагрузки, ось  $z'$  направлена вертикально вверх. Предполагается, что движение жидкости потенциальное,  $\Phi'(x', y', z', t')$  — функция потенциала скоростей движения жидкости, удовлетворяющая уравнению Лапласа  $\Delta\Phi' = 0$ . Пусть глубина водоема является функцией переменной  $x'$ :  $H' = H'(x')$  ( $H'$  — глубина водоема без учета глубины погружения пластины в условиях статического равновесия).

Перейдем к безразмерной постановке задачи, введя характерный линейный размер — глубину водоема  $H_0$ , соответствующую начальному положению (в момент времени  $t' = 0$ ) центра нагрузки  $x' = y' = 0$ :

$$x = \frac{x'}{H_0}, \quad y = \frac{y'}{H_0}, \quad z = \frac{z'}{H_0}, \quad u = \frac{U}{\sqrt{gH_0}}, \quad H = \frac{H'}{H_0},$$

$$t = t' \sqrt{\frac{g}{H_0}}, \quad \Phi = \frac{\Phi'}{H_0 \sqrt{gH_0}}, \quad \tilde{w} = \frac{w'}{H_0}, \quad q = \frac{q'}{\rho_2 g H_0}.$$

Здесь  $w'$ ,  $\tilde{w}$  — размерная и безразмерная величины прогиба пластины соответственно;  $H = H(x)$  — безразмерная глубина водоема.

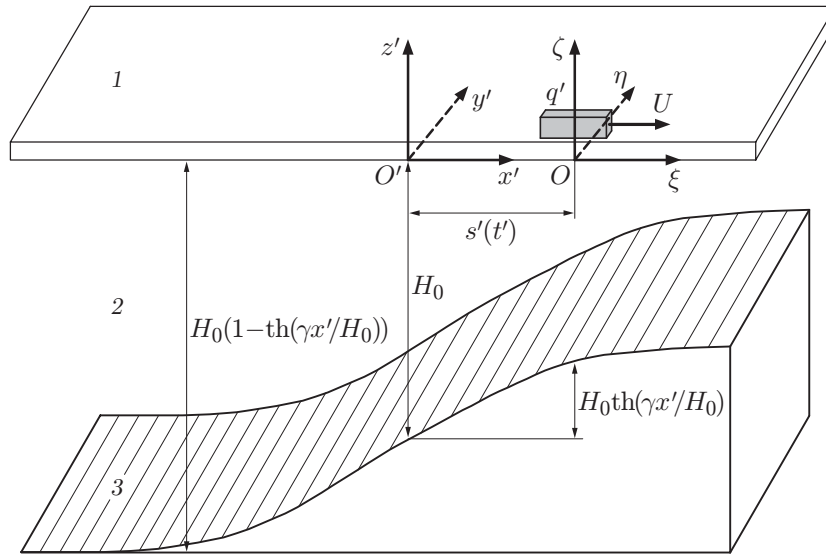


Рис. 1. Схема задачи:  
 1 — пластина, 2 — жидкость, 3 — дно водоема

Линеаризованные граничные и начальные условия для функций  $\tilde{w}$  и  $\Phi$  имеют вид

$$\varkappa \nabla^4 \tilde{w} + \varepsilon \frac{\partial^2 \tilde{w}}{\partial t^2} + \tilde{w} + \frac{\partial \Phi}{\partial t} = -q, \quad z = 0; \tag{1.1}$$

$$\frac{\partial \Phi}{\partial z} = \frac{\partial \tilde{w}}{\partial t}, \quad z = 0; \tag{1.2}$$

$$\frac{\partial \Phi}{\partial \mathbf{n}} = 0, \quad z = -H. \tag{1.3}$$

Здесь  $\nabla^2 = \partial^2/\partial x^2 + \partial^2/\partial y^2$ ;  $\varkappa = D/(\rho_2 g H_0^4)$ ;  $\varepsilon = \rho_1 h/(\rho_2 H_0)$ ;  $D = Eh^3/[12(1 - \nu^2)]$  — цилиндрическая жесткость пластины;  $E$  — модуль Юнга;  $\nu$  — коэффициент Пуассона;  $h$  — толщина пластины;  $\rho_1, \rho_2$  — плотности пластины и воды соответственно.

При условии, что в момент времени  $t = 0$  нагрузка покоится и отсутствуют любые возмущения, кроме статической деформации пластины, начальные условия для функции  $\Phi(x, y, z, t)$  записываются в виде

$$\frac{\partial \Phi}{\partial z} \Big|_{z=0, t=0} = 0, \quad \left( \frac{\partial \Phi}{\partial t} + \varepsilon \frac{\partial^2 \Phi}{\partial z \partial t} \right) \Big|_{z=0, t=0} = 0. \tag{1.4}$$

Предполагается, что в безразмерной постановке глубина водоема изменяется по закону  $H = 1 - \text{th}(\gamma x)$ , где  $\gamma$  — тангенс угла наклона донной поверхности к плоскости  $x'O'y'$  в точке, соответствующей начальному положению центра нагрузки (рис. 1).

Введем новую систему координат  $O\xi\eta\zeta$ , совмещенную с нагрузкой:

$$\xi = x - s, \quad \eta = y, \quad \zeta = z/(1 - \text{th}(\gamma x)) \tag{1.5}$$

( $s = s(t)$  — безразмерное расстояние, пройденное нагрузкой за время  $t$ ). Заметим, что в новой системе координат на дне водоема выполняется условие  $\zeta = -1$ , а величина прогиба пластины определяется по формуле

$$w = \tilde{w}/(1 - \text{th}(\gamma x)). \tag{1.6}$$

Предположим, что величина  $\gamma$  мала ( $|\gamma| \ll 1$ ). Заметим, что при малых значениях  $\gamma x$  ( $|\gamma x| \ll 1$ ) можно считать  $\text{th}(\gamma x) \approx \gamma x$ , т. е. донная поверхность в некоторой достаточно

малой области представляет собой склон, при этом  $\gamma$  — тангенс угла между плоскостью склона и плоскостью  $x'O'y'$ . Если  $\gamma > 0$ , то движение нагрузки происходит в направлении уменьшения глубины водоема (далее это движение будем называть движением “к берегу”), если  $\gamma < 0$ , то нагрузка движется в направлении увеличения глубины водоема (движение “от берега”).

Переходя в исходных уравнениях к новым координатам (1.5), при малых значениях  $\gamma$  ( $|\gamma x| \ll 1$ ) получаем следующие выражения для частных производных:

$$\begin{aligned} \frac{\partial}{\partial x} &= \frac{\partial}{\partial \xi} + \gamma \zeta \frac{\partial}{\partial \zeta} + \dots, & \frac{\partial^2}{\partial x^2} &= \frac{\partial^2}{\partial \xi^2} + 2\gamma \zeta \frac{\partial^2}{\partial \xi \partial \zeta} + \dots, \\ \frac{\partial}{\partial y} &= \frac{\partial}{\partial \eta}, & \frac{\partial^2}{\partial y^2} &= \frac{\partial^2}{\partial \eta^2}, \\ \frac{\partial}{\partial z} &= (1 + \gamma(\xi + s) + \dots) \frac{\partial}{\partial \zeta}, & \frac{\partial^2}{\partial z^2} &= (1 + 2\gamma(\xi + s) + \dots) \frac{\partial^2}{\partial \zeta^2}, \\ \frac{\partial}{\partial t} &= \frac{\partial}{\partial t} - u \frac{\partial}{\partial \xi}, & \frac{\partial^2}{\partial t^2} &= \frac{\partial^2}{\partial t^2} - 2u \frac{\partial^2}{\partial t \partial \xi} - \dot{u} \frac{\partial}{\partial \xi} + u^2 \frac{\partial^2}{\partial \xi^2}. \end{aligned}$$

В новых координатах уравнение неразрывности для жидкости записывается в виде

$$\frac{\partial^2 \Phi}{\partial \xi^2} + \frac{\partial^2 \Phi}{\partial \eta^2} + \frac{\partial^2 \Phi}{\partial \zeta^2} + 2\gamma \left( \zeta \frac{\partial^2 \Phi}{\partial \xi \partial \zeta} + (\xi + s) \frac{\partial^2 \Phi}{\partial \zeta^2} \right) + O(\gamma^2) = 0, \quad |\gamma| \ll 1. \quad (1.7)$$

Исключая из уравнения (1.1) с помощью (1.2) функцию  $w$ , запишем граничное условие для функции потенциала скоростей жидкости  $\Phi$  на поверхности раздела пластина — жидкость:

$$\begin{aligned} &\varkappa \left( (1 + \gamma(\xi + s)) \nabla^4 \frac{\partial \Phi}{\partial \zeta} + 4\gamma \left( \frac{\partial^4 \Phi}{\partial \xi^3 \partial \zeta} + \frac{\partial^4 \Phi}{\partial \xi \partial \eta^2 \partial \zeta} \right) \right) + (1 + \gamma(\xi + s)) \frac{\partial \Phi}{\partial \zeta} + \\ &+ \varepsilon (1 + \gamma(\xi + s)) \left( \frac{\partial^3 \Phi}{\partial t^2 \partial \zeta} - \dot{u} \frac{\partial^2 \Phi}{\partial \xi \partial \zeta} - 2u \frac{\partial^3 \Phi}{\partial t \partial \xi \partial \zeta} + u^2 \frac{\partial^3 \Phi}{\partial \xi^2 \partial \zeta} \right) + \\ &+ \frac{\partial^2 \Phi}{\partial t^2} - \dot{u} \frac{\partial \Phi}{\partial \xi} - 2u \frac{\partial^2 \Phi}{\partial t \partial \xi} + u^2 \frac{\partial^2 \Phi}{\partial \xi^2} + \frac{\partial q}{\partial t} - u \frac{\partial q}{\partial \xi} + O(\gamma^2) = 0, \quad \zeta = 0, \quad |\gamma| \ll 1. \end{aligned} \quad (1.8)$$

Здесь  $\nabla^2 = \partial^2/\partial \xi^2 + \partial^2/\partial \eta^2$ .

Граничное условие на дне водоема для функции  $\Phi$  принимает вид

$$(1 + \gamma(\xi + s)) \frac{\partial \Phi}{\partial \zeta} - \gamma \frac{\partial \Phi}{\partial \xi} + O(\gamma^2) = 0, \quad \zeta = -1, \quad |\gamma| \ll 1. \quad (1.9)$$

Начальные условия (1.4) для функции  $\Phi(\xi, \eta, \zeta, t)$  преобразуются к виду

$$\begin{aligned} (1 + \gamma \xi) \frac{\partial \Phi}{\partial \zeta} + O(\gamma^2) &= 0, \quad \zeta = 0, \quad t = 0, \quad |\gamma| \ll 1, \\ \frac{\partial \Phi}{\partial t} + \varepsilon (1 + \gamma \xi) \frac{\partial^2 \Phi}{\partial \zeta \partial t} + O(\gamma^2) &= 0, \quad \zeta = 0, \quad t = 0, \quad |\gamma| \ll 1. \end{aligned} \quad (1.10)$$

**2.** При малых значениях угла наклона донной поверхности ( $|\gamma| \ll 1$ ) асимптотическое решение уравнения (1.7) с условиями (1.8)–(1.10) будем искать в виде

$$\Phi = \Phi_0 + \gamma \Phi_1 + O(\gamma^2), \quad |\gamma| \ll 1, \quad (2.1)$$

где  $\Phi_0$  — потенциал скоростей движения жидкости, соответствующий постоянной глубине водоема  $H = 1$  ( $\gamma = 0$ ). Заметим, что задача о нахождении потенциала скоростей движения жидкости в случае движения прямоугольной в плане нагрузки по упругой пластине при постоянной глубине водоема решалась в работе [1]. Согласно [1] решение  $\Phi_0$  имеет вид

$$\begin{aligned} \Phi_0(\xi, \eta, \zeta, t) &= \frac{1}{4\pi^2} \int_0^\infty k dk \int_{-\pi}^\pi d\theta \int_{-\infty}^{+\infty} \int_{-\infty}^{+\infty} F_1 \exp(\sigma s) \operatorname{ch}(k(\zeta + 1)) \times \\ &\quad \times \exp(ik((\xi - x_1) \cos \theta + (\eta - y_1) \sin \theta)) dx_1 dy_1, \\ F_1 &= \frac{q(x_1, y_1)\sigma}{\operatorname{ch}(k)(1 + \varepsilon k \operatorname{th}(k))} \int_0^t u(\tau) \exp(-\sigma s(\tau)) \frac{\sin(\sqrt{\beta}(t - \tau))}{\sqrt{\beta}} d\tau, \\ \beta &= \frac{k \operatorname{th}(k)(1 + \varkappa k^4)}{1 + \varepsilon k \operatorname{th}(k)}, \quad \sigma = ik \cos \theta. \end{aligned} \quad (2.2)$$

Подставляя выражение (2.1) в уравнения (1.7)–(1.10), для функции  $\Phi_1$  получаем дифференциальное уравнение

$$\frac{\partial^2 \Phi_1}{\partial \xi^2} + \frac{\partial^2 \Phi_1}{\partial \eta^2} + \frac{\partial^2 \Phi_1}{\partial \zeta^2} = -2 \left( \zeta \frac{\partial^2 \Phi_0}{\partial \xi \partial \zeta} + (\xi + s) \frac{\partial^2 \Phi_0}{\partial \zeta^2} \right) \quad (2.3)$$

с граничными и начальными условиями

$$\begin{aligned} \varkappa \nabla^4 \frac{\partial \Phi_1}{\partial \zeta} + \varepsilon \left( \frac{\partial^3 \Phi_1}{\partial t^2 \partial \zeta} - \dot{u} \frac{\partial^2 \Phi_1}{\partial \xi \partial \zeta} - 2u \frac{\partial^3 \Phi_1}{\partial t \partial \xi \partial \zeta} + u^2 \frac{\partial^3 \Phi_1}{\partial \xi^2 \partial \zeta} \right) + \\ + \frac{\partial \Phi_1}{\partial \zeta} + \frac{\partial^2 \Phi_1}{\partial t^2} - \dot{u} \frac{\partial \Phi_1}{\partial \xi} - 2u \frac{\partial^2 \Phi_1}{\partial t \partial \xi} + u^2 \frac{\partial^2 \Phi_1}{\partial \xi^2} = \\ = - \left( \varkappa \left( (\xi + s) \nabla^4 \frac{\partial \Phi_0}{\partial \zeta} + 4 \left( \frac{\partial^4 \Phi_0}{\partial \xi^3 \partial \zeta} + \frac{\partial^4 \Phi_0}{\partial \xi \partial \eta^2 \partial \zeta} \right) \right) + (\xi + s) \frac{\partial \Phi_0}{\partial \zeta} + \right. \\ \left. + \varepsilon (\xi + s) \left( \frac{\partial^3 \Phi_0}{\partial t^2 \partial \zeta} - \dot{u} \frac{\partial^2 \Phi_0}{\partial \xi \partial \zeta} - 2u \frac{\partial^3 \Phi_0}{\partial t \partial \xi \partial \zeta} + u^2 \frac{\partial^3 \Phi_0}{\partial \xi^2 \partial \zeta} \right) \right), \quad \zeta = 0; \end{aligned} \quad (2.4)$$

$$\frac{\partial \Phi_1}{\partial \zeta} = \frac{\partial \Phi_0}{\partial \xi} - (\xi + s) \frac{\partial \Phi_0}{\partial \zeta}, \quad \zeta = -1; \quad (2.5)$$

$$\frac{\partial \Phi_1}{\partial \zeta} = 0, \quad \frac{\partial \Phi_1}{\partial t} + \varepsilon \frac{\partial^2 \Phi_1}{\partial \zeta \partial t} = -\varepsilon \xi \frac{\partial^2 \Phi_0}{\partial \zeta \partial t}, \quad \zeta = 0, \quad t = 0. \quad (2.6)$$

Общее решение уравнения (2.3) будем искать в виде

$$\Phi_1(\xi, \eta, \zeta, t) = \Phi_{1,0}(\xi, \eta, \zeta, t) + \Phi_{1,1}(\xi, \eta, \zeta, t), \quad (2.7)$$

где  $\Phi_{1,0}(\xi, \eta, \zeta, t)$  — общее решение однородного уравнения, соответствующего уравнению (2.3);  $\Phi_{1,1}(\xi, \eta, \zeta, t)$  — частное решение неоднородного уравнения (2.3).

Частным решением уравнения (2.3) является функция

$$\begin{aligned} \Phi_{1,1} &= \frac{1}{4\pi^2} \int_0^\infty k dk \int_{-\pi}^\pi d\theta \int_{-\infty}^{+\infty} \int_{-\infty}^{+\infty} F_1 \exp(\sigma s) \zeta [A \operatorname{sh}(k(\zeta + 1)) + B \zeta \operatorname{ch}(k(\zeta + 1))] \times \\ &\quad \times \exp[ik((\xi - x_1) \cos \theta + (\eta - y_1) \sin \theta)] dx_1 dy_1, \\ A &= -k(x_1 + s) + \sigma/(2k), \quad B = -\sigma/2. \end{aligned} \quad (2.8)$$

Решение  $\Phi_{1,0}(\xi, \eta, \zeta, t)$  будем искать в виде

$$\Phi_{1,0} = \frac{1}{4\pi^2} \int_0^\infty k dk \int_{-\pi}^\pi d\theta \int_{-\infty}^{+\infty} \int_{-\infty}^{+\infty} e^{\sigma s} [A_1 \operatorname{ch}(k(\zeta + 1)) + B_1 \operatorname{sh}(k(\zeta + 1))] \times \\ \times \exp [ik((\xi - x_1) \cos \theta + (\eta - y_1) \sin \theta)] dx_1 dy_1. \quad (2.9)$$

Здесь  $A_1, B_1$  — неизвестные функции переменных  $x_1, y_1, t, k, \theta$ . Подставляя (2.7)–(2.9) в граничные условия (2.4), (2.5), можно выразить коэффициент  $B_1$  через известные функции и получить дифференциальное уравнение для  $A_1$ :

$$B_1 = F_1 A; \quad (2.10)$$

$$A''_{1tt} + \beta A_1 = f_2(x_1, y_1, t, k, \theta); \quad (2.11)$$

$$f_2(x_1, y_1, t, k, \theta) = \frac{1}{1 + \varepsilon k \operatorname{th}(k)} \left[ - (x_1 + s)(\varepsilon k \operatorname{th}(k) F''_{1tt} + k \operatorname{th}(k)(1 + \varkappa k^4) F_1) - \right. \\ \left. - (\operatorname{th}(k) + k)(1 + \varkappa k^4) F_1 A - (\operatorname{th}(k) + \varepsilon(\operatorname{th}(k) + k))(F_1 A)''_{tt} + 4\varkappa \sigma k^3 \operatorname{th}(k) F_1 \right].$$

Решая уравнение (2.11) с использованием интегрального преобразования Лапласа и начальных условий (2.6), находим следующее выражение для функции  $A_1$ :

$$A_1 = \int_0^t f_2(\tau) \frac{\sin(\sqrt{\beta}(t - \tau))}{\sqrt{\beta}} d\tau. \quad (2.12)$$

Таким образом, получено выражение для составляющей  $\Phi_1(\xi, \eta, \zeta, t)$  потенциала скоростей движения жидкости при переменной глубине водоема:

$$\Phi_1 = \frac{1}{4\pi^2} \int_0^\infty k dk \int_{-\pi}^\pi d\theta \int_{-\infty}^{+\infty} \int_{-\infty}^{+\infty} e^{\sigma s} \{ A_1 \operatorname{ch}(k(\zeta + 1)) + \\ + F_1 [A(\zeta + 1) \operatorname{sh}(k(\zeta + 1)) + B\zeta^2 \operatorname{ch}(k(\zeta + 1))] \} \times \\ \times \exp [ik((\xi - x_1) \cos \theta + (\eta - y_1) \sin \theta)] dx_1 dy_1. \quad (2.13)$$

С использованием кинематического (1.2) и динамического (1.1) граничных условий, а также выражения (1.6) получаем уравнение для нахождения прогиба пластины  $w(\xi, \eta, t)$ :

$$(1 - \gamma(\xi + s))(\varkappa \nabla^4 + 1)w - 4\varkappa \gamma \left( \frac{\partial^3 w}{\partial \xi^3} + \frac{\partial^3 w}{\partial \xi \partial \eta^2} \right) + q + \frac{\partial \Phi}{\partial t} - u \frac{\partial \Phi}{\partial \xi} + \\ + \varepsilon(1 + \gamma(\xi + s)) \left( \frac{\partial^2 \Phi}{\partial \zeta \partial t} - u \frac{\partial^2 \Phi}{\partial \zeta \partial \xi} \right) + O(\gamma^2) = 0, \quad |\gamma| \ll 1, \quad \zeta = 0. \quad (2.14)$$

Будем искать функцию прогиба пластины  $w(\xi, \eta, t)$  в виде

$$w = w_0 + \gamma w_1 + O(\gamma^2), \quad |\gamma| \ll 1, \quad (2.15)$$

где  $w_0$  — прогиб пластины при постоянной глубине водоема  $H = 1$  ( $\gamma = 0$ ). В соответствии с [1] выражение для  $w_0$  имеет вид

$$w_0 = -\frac{1}{4\pi^2} \int_0^\infty k dk \int_{-\pi}^\pi d\theta \int_{-\infty}^{+\infty} \int_{-\infty}^{+\infty} \frac{I_1 + I_2}{1 + \varkappa k^4} \times \\ \times \exp (ik((\xi - x_1) \cos \theta + (\eta - y_1) \sin \theta)) dx_1 dy_1, \quad (2.16) \\ I_1 = F'_{1t}(1 + \varepsilon k \operatorname{th} k) e^{\sigma s} \operatorname{ch} k, \quad I_2 = q(x_1, y_1).$$

Для нахождения величины  $w_1$  из (2.14) с учетом (2.15) получаем уравнение

$$(\varkappa \nabla^4 + 1)w_1 = 4\varkappa \left( \frac{\partial^3 w_0}{\partial \xi^3} + \frac{\partial^3 w_0}{\partial \xi \partial \eta^2} \right) + (\xi + s)(\varkappa \nabla^4 + 1)w_0 - \frac{\partial \Phi_1}{\partial t} + u \frac{\partial \Phi_1}{\partial \xi} - \varepsilon \left( \frac{\partial^2 \Phi_1}{\partial \zeta \partial t} - u \frac{\partial^2 \Phi_1}{\partial \zeta \partial \xi} \right) - \varepsilon(\xi + s) \left( \frac{\partial^2 \Phi_0}{\partial \zeta \partial t} - u \frac{\partial^2 \Phi_0}{\partial \zeta \partial \xi} \right), \quad \zeta = 0. \quad (2.17)$$

Представляя прогиб пластины  $w_1(\xi, \eta, t)$  в виде интеграла Фурье по переменным  $\xi$  и  $\eta$ , из уравнения (2.17) с учетом (2.2), (2.13), (2.16) находим выражение для  $w_1$ :

$$w_1 = -\frac{1}{4\pi^2} \int_0^\infty k dk \int_{-\pi}^\pi d\theta \int_{-\infty}^{+\infty} \int_{-\infty}^{+\infty} \frac{I_3 + I_4 + I_5}{1 + \varkappa k^4} \times \exp(ik((\xi - x_1) \cos \theta + (\eta - y_1) \sin \theta)) dx_1 dy_1; \quad (2.18)$$

$$I_3 = [(AF_1)'_t(\text{th } k + \varepsilon(k + \text{th } k)) + A'_{1t}(1 + \varepsilon k \text{th } k)] e^{\sigma s} \text{ch } k,$$

$$I_4 = \varepsilon F'_{1t}(x_1 + s) k \text{th } k e^{\sigma s} \text{ch } k, \quad I_5 = (I_1 + I_2) \left( x_1 + s - \frac{4\varkappa \sigma k^2}{1 + \varkappa k^4} \right).$$

С учетом (1.6), (2.15), (2.16), (2.18) прогиб пластины будем искать по приближенной формуле

$$w' \approx (w_0 + \gamma w_1) H_0(1 - \text{th}(\gamma x)), \quad |\gamma| \ll 1. \quad (2.19)$$

**3.** Проведем анализ полученных результатов в предположении, что в заданной подвижной системе координат давление  $q$  (нагрузка) равномерно распределено по прямоугольной области и не зависит от времени, т. е.  $q = q_0$  при  $\xi \in [-L/2; L/2]$ ,  $\eta \in [-L/(2\omega); L/(2\omega)]$ , где  $L$  — безразмерная длина нагрузки;  $\omega = L/B$  — удлинение нагрузки;  $B$  — безразмерная ширина нагрузки.

Если закон изменения скорости нагрузки в зависимости от времени имеет вид

$$u(t) = u_1 \text{th}(\mu t),$$

то расстояние, пройденное телом, вычисляется по формуле

$$s(t) = \int_0^t u(\tau) d\tau = \frac{u_1}{\mu} \ln(\text{ch}(\mu t)).$$

Проведем сравнение результатов расчетов по формуле (2.19) с известными теоретическими и экспериментальными данными [2, 3] о прогибе ледяной пластины в случае движения по ней нагрузки при постоянной глубине водоема. На рис. 2 показаны результаты экспериментов [2], результаты теоретических расчетов [3] и результаты расчетов по формуле (2.19) в случае равномерного движения нагрузки после начального ускорения при следующих значениях параметров: размерные длина и ширина нагрузки  $L' = 2,34$  м,  $B' = 0,79$  м соответственно; размерное давление, полученное для нагрузки массой 235 кг [3],  $q'_0 = 1,2 \cdot 10^3$  Н/м<sup>2</sup>;  $H_0 = 6,8$  м,  $\rho_2 = 1026$  кг/м<sup>3</sup>,  $h = 0,17$  м,  $\rho_1 = 870$  кг/м<sup>3</sup>,  $E = 6,1 \cdot 10^8$  Н/м<sup>2</sup>,  $\nu = 0,33$ ,  $t' = 40$  с,  $\mu' = 1$  с<sup>-1</sup>,  $\gamma = 0$ ,  $\eta = 0$ . Видно, что при постоянной глубине водоема результаты расчета прогиба упругой пластины хорошо согласуются с известными теоретическими [3] и экспериментальными [2] данными.

Для анализа влияния переменной глубины водоема на прогиб пластины численные расчеты по формуле (2.19) проводились при следующих значениях параметров пластины, нагрузки и жидкости:  $\rho_2 = 1000$  кг/м<sup>3</sup>,  $\rho_1 = 900$  кг/м<sup>3</sup>,  $E = 10^9$  Па,  $q'_0 = 1 \div 4$  кПа,  $\nu = 1/3$ ,  $h = 0,1 \div 1,5$  м.

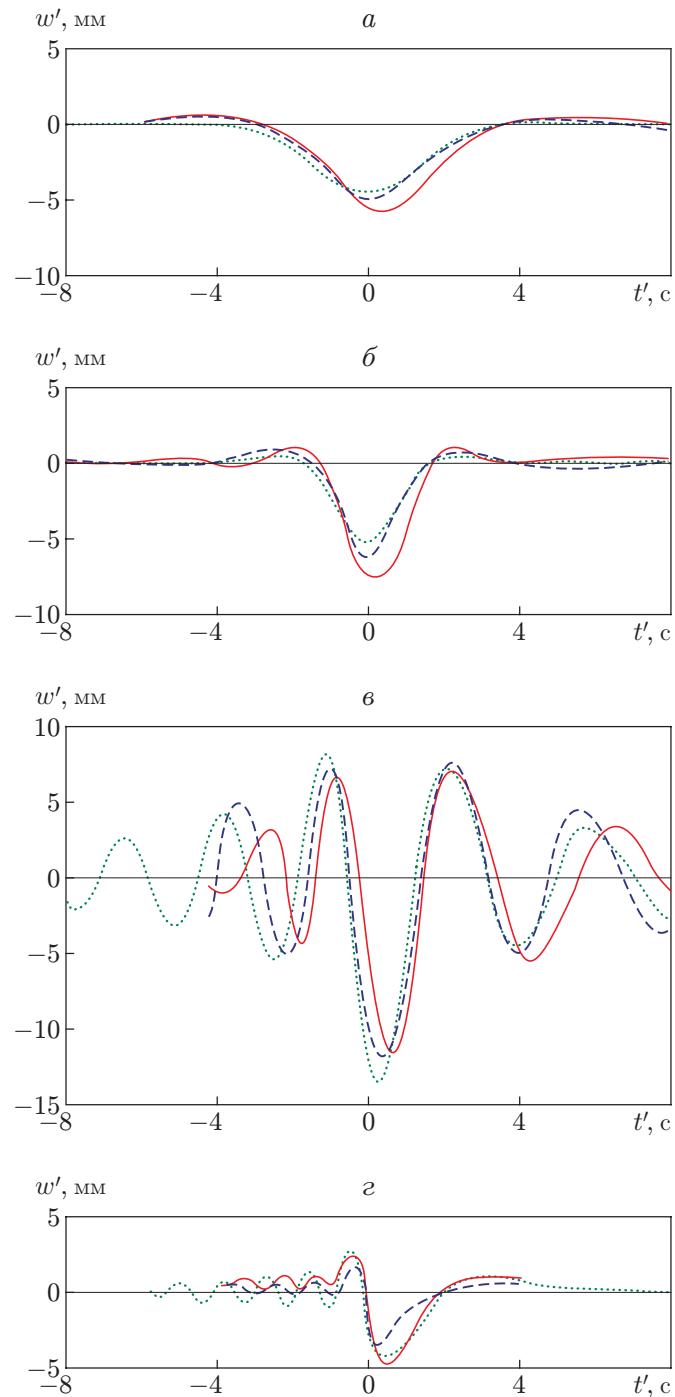


Рис. 2. Профили прогибов, полученные экспериментально в работе [2] (сплошные линии), теоретически в работе [3] (штриховые линии) и по формуле (2.19) (пунктирные линии):

*a* —  $U = 2,2$  м/с, *б* —  $U = 4,2$  м/с, *в* —  $U = 6,2$  м/с, *г* —  $U = 8,9$  м/с

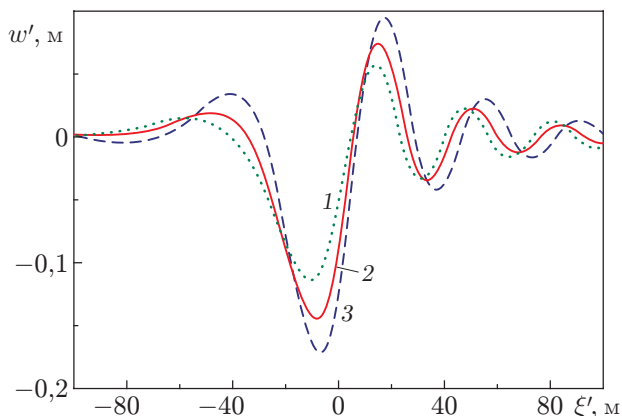


Рис. 3

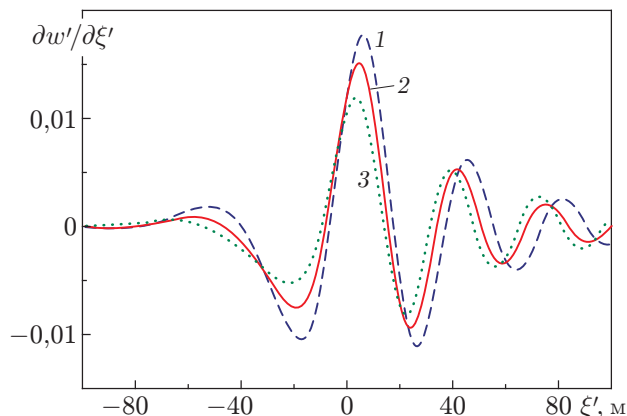


Рис. 4

Рис. 3. Прогиб ледяной пластины  $w'$  при различных значениях  $\gamma$ :

1 —  $\gamma = 0,005$ ; 2 —  $\gamma = 0$ ; 3 —  $\gamma = -0,005$

Рис. 4. Производная прогиба ледяной пластины  $\partial w'/\partial \xi'$  при различных значениях  $\gamma$ :

1 —  $\gamma = -0,005$ ; 2 —  $\gamma = 0$ ; 3 —  $\gamma = 0,005$

На рис. 3 для  $\eta = 0$  представлены результаты расчетов прогибов  $w$  пластины толщиной  $h = 0,5$  м под действием нагрузки с параметрами  $L' = 20$  м,  $\omega = 2$ ,  $q'_0 = 2 \cdot 10^3$  Па в случае ее равномерного движения после начального ускорения ( $t' = 40$  с,  $u'_1 = 10$  м/с,  $\mu' = 1$  с $^{-1}$ ) при начальной глубине водоема  $H_0 = 7$  м и различных значениях  $\gamma$ . Видно, что при заданных параметрах водоема, пластины и нагрузки движение “к берегу” или “от берега” приводит соответственно к уменьшению или увеличению значений амплитуды прогиба  $w$  пластины по сравнению с аналогичными значениями, полученными при постоянной глубине водоема.

Исследуем влияние переменной глубины водоема на величину  $\partial w/\partial x$  при  $\eta = 0$ . В работе [4] экспериментально установлено, что значение  $\alpha = \max_{x \in (-\infty; +\infty)} |\partial w/\partial x| \geq 0,04$  соответствует раскрытию магистральных трещин в ледяном покрове и полному разрушению ледяного покрова. На рис. 4 при тех же значениях параметров, что и на рис. 3, приведены кривые  $(\partial w'/\partial \xi')|_{\eta=0}$ . Из рис. 4 следует, что изменение глубины водоема может привести к увеличению или уменьшению угла наклона плавающей пластины по сравнению с аналогичными значениями для ровного дна.

На рис. 5 представлена зависимость коэффициента  $\alpha$  от времени при  $L' = 20$  м,  $\omega = 2$ ,  $q'_0 = 2 \cdot 10^3$  Н/м $^2$ ,  $h = 0,5$  м,  $\mu' = 1$  с $^{-1}$ ,  $\eta = 0$  и различных значениях начальной глубины водоема  $H_0$ , величины  $\gamma$  и скорости равномерного движения нагрузки  $u'_1$ . Заметим, что при указанных выше значениях параметров пластины, нагрузки и жидкости минимальная фазовая скорость распространения изгибно-гравитационных волн в пластине для водоема бесконечной глубины  $u_{\min} = 2(Dg^3/(27\rho_2))^{1/8} \approx 10$  м/с. Результаты анализа кривых 1, 4, 5 на рис. 5 показывают, что движение “от берега” или “к берегу” при одной и той же начальной глубине  $H_0$  приводит соответственно к увеличению или уменьшению коэффициента  $\alpha$ . Представляет интерес определение условий, при которых достигается максимальное значение коэффициента  $\alpha$  (при движении “от берега”, “к берегу” или при постоянной глубине). Анализ кривых 2–4 на рис. 5 показывает, что при движении со скоростью  $u_{\min} \approx 10$  м/с с глубины 5 м на глубину 7 м значения коэффициента  $\alpha$  больше, чем в случае движения с глубины 9 м на глубину 7 м и в случае движения при постоянной глубине водоема 7 м.

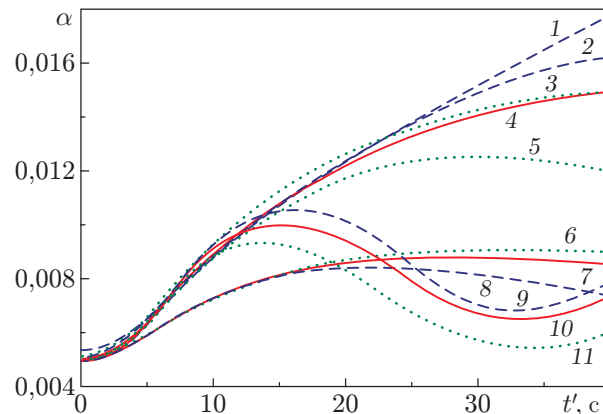


Рис. 5. Зависимость коэффициента  $\alpha$  от времени в случае равномерного движения нагрузки после ускорения:

1 —  $H_0 = 7$  м,  $\gamma = -0,005$ ,  $u'_1 = 10$  м/с; 2 —  $H_0 = 5$  м,  $\gamma = -0,005$ ,  $u'_1 = 10$  м/с; 3 —  $H_0 = 9$  м,  $\gamma = 0,005$ ,  $u'_1 = 10$  м/с; 4 —  $H_0 = 7$  м,  $\gamma = 0$ ,  $u'_1 = 10$  м/с; 5 —  $H_0 = 7$  м,  $\gamma = 0,005$ ,  $u'_1 = 10$  м/с; 6 —  $H_0 = 7$  м,  $\gamma = 0,005$ ,  $u'_1 = 6$  м/с; 7 —  $H_0 = 7$  м,  $\gamma = 0$ ,  $u'_1 = 6$  м/с; 8 —  $H_0 = 7$  м,  $\gamma = -0,005$ ,  $u'_1 = 6$  м/с; 9 —  $H_0 = 7$  м,  $\gamma = -0,005$ ,  $u'_1 = 14$  м/с; 10 —  $H_0 = 7$  м,  $\gamma = 0$ ,  $u'_1 = 14$  м/с; 11 —  $H_0 = 7$  м,  $\gamma = 0,005$ ,  $u'_1 = 14$  м/с

Кривые 6–8 на рис. 5 характеризуют влияние глубины водоема на коэффициент  $\alpha$  при докритических скоростях движения, кривые 9–11 — влияние глубины водоема при сверхкритических скоростях (критической скоростью будем называть скорость, при которой достигается наибольшее значение коэффициента  $\alpha$ ). Анализ кривых 6–11 на рис. 5 позволяет сделать вывод, что при движении с докритическими скоростями “к берегу” или со сверхкритическими скоростями “от берега” значение коэффициента  $\alpha$  больше его значения в случае постоянной глубины водоема.

На рис. 6, 7 для пластины толщиной  $h = 0,1; 0,5$  м соответственно представлены зависимости коэффициента  $\alpha$  вдоль оси движения нагрузки ( $\eta = 0$ ) от скорости равномерного движения нагрузки  $u'_1$  при  $t' = 40$  с,  $\mu' = 1$  с<sup>-1</sup> и различных значениях  $\gamma$  и  $H_0$ . Заметим, что при указанных выше значениях параметров пластины, нагрузки и жидкости для пластин толщиной  $h = 0,1, 0,5$  м минимальная фазовая скорость распространения изгибно-гравитационных волн в пластине при бесконечной глубине водоема равна  $u_{\min} \approx 5,5; 10,0$  м/с соответственно. Теоретические значения минимальной фазовой скорости при значениях параметров, соответствующих рис. 6, 7, равны:  $u_{\min} = 4,94$  м/с при  $h = 0,1$  м,  $H_0 = 3$  м;  $u_{\min} = 5,38$  м/с при  $h = 0,1$  м,  $H_0 = 7$  м;  $u_{\min} = 8,0$  м/с при  $h = 0,5$  м,  $H_0 = 7$  м;  $u_{\min} = 9,51$  м/с при  $h = 0,5$  м,  $H_0 = 14$  м. На рис. 6, 7 видно, что в случае мелкой воды ( $\sqrt{gH_0} \leq u_{\min}$ ) влияние переменной глубины водоема на коэффициент  $\alpha$  является существенным. Наиболее значительное влияние переменная глубина водоема оказывает на коэффициент  $\alpha$  при движении с околоскритическими скоростями в случае мелкой воды. При этом коэффициент  $\alpha$  существенно увеличивается при движении “от берега” и уменьшается при движении “к берегу”. При докритических скоростях движение “к берегу” приводит к увеличению коэффициента  $\alpha$ , а движение “от берега” — к его уменьшению по сравнению со случаем движения при постоянной глубине водоема. При большой глубине ( $\sqrt{gH_0} > u_{\min}$ ) влияние величины  $\gamma$  на коэффициент  $\alpha$  незначительно. Из рис. 6, 7 следует, что при  $h = 0,5$  м глубина  $H_0 = 7$  м является малой; а при  $h = 0,1$  м — большой.

Кроме того, при движении “от берега” значение критической скорости увеличивается, а при движении “к берегу” уменьшается.

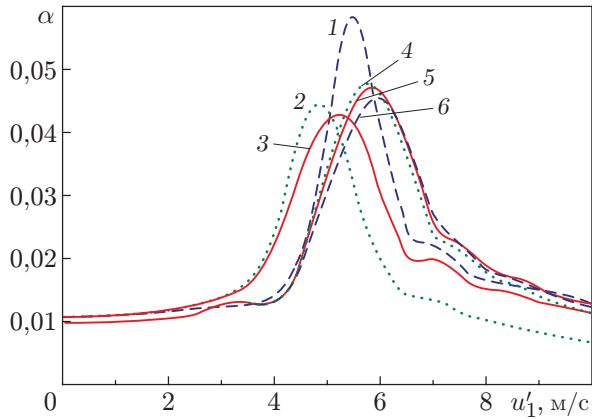


Рис. 6

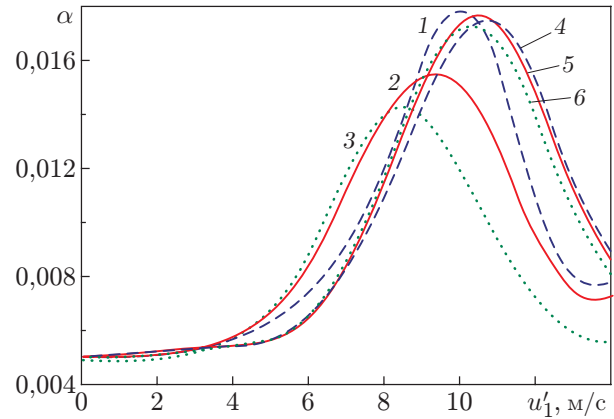


Рис. 7

Рис. 6. Зависимость коэффициента  $\alpha$  от скорости движения  $u'_1$  в случае равномерного движения нагрузки после ускорения при  $L' = 10$  м,  $\omega = 2$ ,  $q'_0 = 10^3$  Н/м<sup>2</sup>,  $h = 0,1$  м,  $\mu = 1$  с<sup>-1</sup>,  $t = 40$  с:

1 —  $H_0 = 3$  м,  $\gamma = -0,005$ ; 2 —  $H_0 = 3$  м,  $\gamma = 0,005$ ; 3 —  $H_0 = 3$  м,  $\gamma = 0$ ; 4 —  $H_0 = 7$  м,  $\gamma = 0,005$ ; 5 —  $H_0 = 7$  м,  $\gamma = 0$ ; 6 —  $H_0 = 7$  м,  $\gamma = -0,005$

Рис. 7. Зависимость коэффициента  $\alpha$  от скорости движения  $u'_1$  в случае равномерного движения нагрузки после ускорения при  $L' = 20$  м,  $\omega = 2$ ,  $q'_0 = 2 \cdot 10^3$  Н/м<sup>2</sup>,  $h = 0,5$  м,  $\mu = 1$  с<sup>-1</sup>,  $t = 40$  с:

1 —  $H_0 = 7$  м,  $\gamma = -0,005$ ; 2 —  $H_0 = 7$  м,  $\gamma = 0$ ; 3 —  $H_0 = 7$  м,  $\gamma = 0,005$ ; 4 —  $H_0 = 14$  м,  $\gamma = -0,005$ ; 5 —  $H_0 = 14$  м,  $\gamma = 0$ ; 6 —  $H_0 = 14$  м,  $\gamma = 0,005$

С использованием результатов расчетов по формуле (2.19) проанализируем возможность разрушения ледяного покрова с помощью катера на воздушной подушке (КВП) при переменной глубине водоема. Рассмотрим движение двух десантных катеров: российского КВП “Мурена” с параметрами  $L' = 30,2$  м,  $\omega = 2,3$ ,  $q'_0 = 4 \cdot 10^3$  Па (давление соответствует максимальному водоизмещению 166 т) и американского катера LCAC с параметрами  $L' = 26,4$  м,  $\omega = 1,85$ ,  $q'_0 = 4,8 \cdot 10^3$  Па (давление соответствует максимальному водоизмещению 185 т).

На рис. 8, 9 при  $H_0 = 5$  м представлены зависимости коэффициента  $\alpha$  от скорости равномерного движения  $u'_1$  для катеров “Мурена” и LCAC соответственно при  $\mu' = 1$  с<sup>-1</sup>,  $\eta = 0$ ,  $t' = 40$  с и различных значениях коэффициента  $\gamma$  и толщины пластины  $h$ . Заметим, что в случае ледяной пластины с указанными выше параметрами при  $h = 0,5; 0,7; 1,0; 1,5$  м минимальная фазовая скорость принимает значения  $u_{\min} = 10,0; 11,4; 13,0; 15,2$  м/с соответственно. Видно, что для ледяного покрова толщиной  $0,5 \div 0,7$  м при движении КВП “Мурена” и LCAC с околоскритическими скоростями  $\alpha \approx 0,04$ , следовательно, разрушение ледяного покрова возможно. При этом в случае движения катера в направлении “от берега” с околоскритическими скоростями значение коэффициента  $\alpha$  увеличивается и, следовательно, возможность разрушения ледяного покрова толщиной  $0,5 \div 0,7$  м возрастает. Данный результат согласуется с экспериментальными данными работы [7], в которой описано разрушение ледяного покрова толщиной  $0,4 \div 0,7$  м с помощью КВП “Мурена”. Увеличение интенсивности нагрузки  $q'_0$  и уменьшение толщины ледяного покрова также приводят к увеличению коэффициента  $\alpha$ . Для  $h \geq 1$  м значение коэффициента  $\alpha$  является малым при любых значениях  $\gamma$ , следовательно, разрушение ледяного покрова толщиной  $h \geq 1$  м с помощью рассматриваемых катеров невозможно. В работе [7] также указано, что

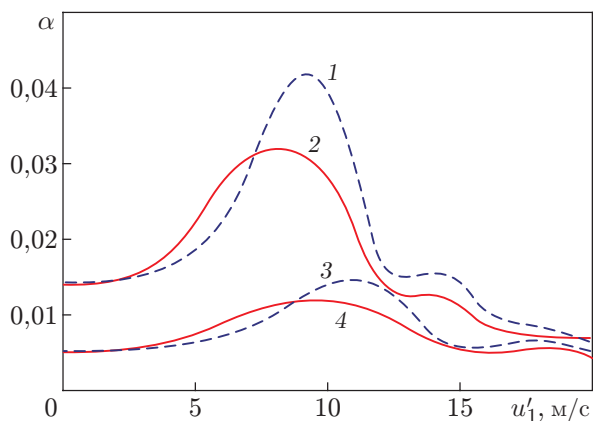


Рис. 8

Рис. 8. Зависимость коэффициента  $\alpha$  от скорости в случае равномерного движения катера на воздушной подушке “Мурена”:

1, 2 —  $h = 0,5$  м; 3, 4 —  $h = 1$  м; сплошные кривые —  $\gamma = 0$ , штриховые —  $\gamma = -0,005$

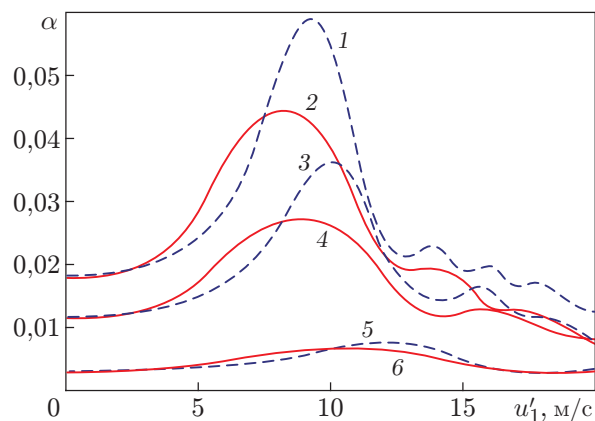


Рис. 9

Рис. 9. Зависимость коэффициента  $\alpha$  от скорости в случае равномерного движения катера на воздушной подушке LCAS:

1, 2 —  $h = 0,5$  м; 3, 4 —  $h = 0,7$  м; 5, 6 —  $h = 1,5$  м; сплошные кривые —  $\gamma = 0$ , штриховые —  $\gamma = -0,005$

в случае ледяного покрова толщиной 1 м после совершения КВП “Мурена” пяти проходов по льду, ослабленному пятью майнами диаметром  $3 \div 5$  м, расстояние между которыми составляет 10 м, разрушались только перемычки между майнами и кромки льда вблизи майны, а полного разрушения льда не происходило.

4. Проведенное исследование позволяет сделать следующие выводы. При малом угле наклона донной поверхности получены интегрально-асимптотические формулы для расчета прогиба плавающей упругой пластины при нестационарном движении по ней нагрузки. Проанализировано влияние переменной глубины водоема на амплитуду прогиба и максимальное значение угла наклона плавающей пластины. Показано, что в зависимости от толщины пластины и скорости нагрузки изменение глубины водоема может приводить либо к увеличению амплитуды прогиба пластины, либо к ее уменьшению по сравнению с соответствующим значением при постоянной глубине водоема. В частности, в случае большой глубины водоема  $H_0$  ( $\sqrt{gH_0} > u_{\min}$ ) малый угол наклона донной поверхности не оказывает существенного влияния на прогиб плавающей упругой пластины. Наиболее значительное увеличение амплитуды прогиба и максимального угла наклона плавающей пластины наблюдается в случае малой глубины водоема  $H_0$  ( $\sqrt{gH_0} \leq u_{\min}$ ) при движении по пластине с критическими скоростями в направлении увеличения глубины водоема.

## ЛИТЕРАТУРА

1. **Kozin V. M., Pogorelova A. V.** Nonstationary motion of an amphibian air-cushion vehicle on ice fields // Proc. of the 7th (2006) ISOPE Pacific/Asia offshore mechanics symp., Dalian (China), Sept. 17–21, 2006. Cupertino: ISOPE, 2006. P. 81–86.
2. **Takizava T.** Deflection of a floating sea ice sheet induced by a moving load // Cold Regions Sci. Technol. 1985. V. 11. P. 171–180.

3. **Bukatov A. E., Zharkov V. V.** Formation of the ice cover's flexural oscillations by action of surface and internal ship waves. Pt 1. Surface waves // Intern. J. Offshore Polar Engng. ISOPE. 1997. V. 7, N 1. P. 1–12.
4. **Козин В. М.** Ледоразрушающая способность изгибно-гравитационных волн от движения объектов / В. М. Козин, А. В. Онищук, Б. Н. Марьин и др. Владивосток: Дальнаука, 2005.
5. **Squire V. A.** Moving loads on ice plates / V. A. Squire, R. J. Hosking, A. D. Kerr, P. J. Langhorne. Dordrecht: Kluwer Acad. Publ., 1996.
6. **Хейсин Д. Е.** Динамика ледяного покрова. Л.: Гидрометеиздат, 1967.
7. **Козин В. М.** Резонансный метод разрушения ледяного покрова. Изобретения и эксперименты. М.: Акад. естествознания, 2007.

*Поступила в редакцию 11/І 2013 г.,  
в окончательном варианте — 23/VIII 2013 г.*

---